

# 第 379 回 地震調査委員会資料

## 〈 目 次 〉

- ◆ 広帯域地震計を用いたモーメントテンソル解析結果（2022年10月01日-10月31日） …… 2
- ◆ 紀伊半島・東海地域の深部低周波微動活動状況（2022年10月） …… 13
- ◆ 四国の深部低周波微動活動状況（2022年10月） …… 14
- ◆ 紀伊半島北部の短期的スロースリップ活動状況（2022年9月～10月） …… 15
- ◆ 南海トラフ南部から中部における海底地形と地震活動 …… 16

令和4年11月10日



国立研究開発法人

**防災科学技術研究所**

National Research Institute for Earth Science and Disaster Resilience

広帯域地震計を用いたモーメントテンソル解析結果  
(2022年10月01日-10月31日)

国立研究開発法人 防災科学技術研究所

期間中のイベント数:103

- ・千島列島
  - 94) 千島列島 (10/27 19:10 Mw5.1 H\_50km VR61.34/3) 東西方向に圧縮軸を持つ型
- ・北海道地方
  - 29) 釧路沖 (10/10 09:03 Mw4.5 H\_29km VR74.82/3) 北東-南西伸張の正断層
  - 39) 北海道西方沖 (10/12 10:10 Mw4.3 H270km VR86.56/3) 南北方向に圧縮軸を持つ型
  - 43) 択捉島付近 (10/13 15:20 Mw4.8 H\_56km VR80.32/3) 北西-南東方向に圧縮軸を持つ型
  - 55) 北海道北東沖 (10/19 12:05 Mw4.3 H320km VR77.67/3) 西北西-東南東圧縮の横ずれ断層
  - 62) 北海道西方沖 (10/21 10:00 Mw4.1 H210km VR63.71/3) 北東-南西伸張の正断層
  - 74) 浦河沖 (10/24 15:59 Mw4.0 H\_53km VR84.45/3) 西北西-東南東圧縮の逆断層
  - 75) 釧路沖 (10/24 16:43 Mw4.6 H\_20km VR69.25/3) 北西-南東圧縮の逆断層
  - 76) 釧路沖 (10/24 17:48 Mw4.4 H\_20km VR67.16/3) 北西-南東圧縮の逆断層
  - 87) 釧路沖 (10/26 16:06 Mw5.4 H\_17km VR74.34/3) 北西-南東圧縮の逆断層
  - 88) 釧路沖 (10/26 18:30 Mw4.2 H\_14km VR71.25/3) 北西-南東圧縮の逆断層
  - 95) 釧路沖 (10/27 22:25 Mw5.0 H\_20km VR68.09/3) 北西-南東方向に圧縮軸を持つ型
  - 96) 国後島付近 (10/28 03:01 Mw4.3 H135km VR81.74/3) 東西方向に圧縮軸を持つ型
- ・東北地方
  - 20) 宮城県沖 (10/06 04:04 Mw4.4 H\_56km VR93.69/3) 西北西-東南東圧縮の逆断層
  - 22) 福島県沖 (10/07 03:14 Mw4.3 H\_11km VR93.14/3) 北北西-南南東方向に伸長軸を持つ型
  - 26) 福島県沖 (10/09 13:37 Mw4.1 H\_32km VR94.36/3) 北西-南東圧縮の横ずれ断層
  - 30) 宮城県沖 (10/10 09:26 Mw4.7 H\_44km VR94.43/3) 西北西-東南東圧縮の逆断層
  - 36) 福島県沖 (10/11 20:28 Mw4.4 H\_50km VR94.37/3) 南北圧縮の逆断層
  - 54) 三陸沖 (10/19 09:43 Mw4.3 H\_17km VR82.59/3) 西北西-東南東圧縮の逆断層
  - 56) 三陸沖 (10/19 14:14 Mw4.2 H\_17km VR78.55/3) 西北西-東南東圧縮の逆断層
  - 57) 三陸沖 (10/19 14:54 Mw5.2 H\_14km VR83.83/3) 西北西-東南東圧縮の逆断層
  - 60) 三陸沖 (10/20 20:36 Mw4.2 H\_17km VR88.82/3) 西北西-東南東圧縮の逆断層
  - 63) 福島県沖 (10/21 15:19 Mw4.8 H\_20km VR79.72/3) 西北西-東南東方向に伸長軸を持つ型
  - 67) 三陸沖 (10/22 18:03 Mw4.0 H\_5km VR87.37/3) 東西伸張の正断層
  - 70) 青森県東方沖 (10/23 22:01 Mw4.3 H\_59km VR94.43/3) 西北西-東南東圧縮の逆断層
  - 100) 福島県沖 (10/29 05:56 Mw4.1 H\_32km VR57.78/3) 東北東-西南西圧縮の逆断層
- ・関東・中部地方
  - 35) 八丈島東方沖 (10/11 17:17 Mw4.6 H\_8km VR80.23/3) 東北東-西南西伸張の正断層
  - 38) 八丈島東方沖 (10/12 05:28 Mw4.7 H\_5km VR77.53/3) 東西方向に伸長軸を持つ型
  - 40) 茨城県南部 (10/12 13:45 Mw4.0 H\_65km VR94.93/3) 東西圧縮の逆断層
  - 45) 埼玉県秩父地方 (10/16 00:25 Mw4.4 H150km VR69.94/3) 東西方向に圧縮軸を持つ型
  - 102) 八丈島東方沖 (10/30 04:46 Mw4.4 H\_5km VR62.82/3) 北東-南西方向に伸長軸を持つ型
- ・小笠原地方
  - 3) 父島近海 (10/01 21:44 Mw4.9 H\_17km VR78.24/3) 東北東-西南西伸張の正断層

23) 八丈島近海	(10/07 05:09 Mw4.5 H_17km VR88.68/3)	北東—南西伸張の横ずれ断層
69) 鳥島近海	(10/23 20:00 Mw5.0 H520km VR79.69/3)	東西圧縮の逆断層
71) 鳥島東方沖	(10/24 05:09 Mw4.9 H_14km VR66.41/3)	東西伸張の正断層
72) 鳥島東方沖	(10/24 07:35 Mw4.0 H_14km VR69.26/3)	南北伸張の正断層
・九州地方		
4) 日向灘	(10/02 00:02 Mw5.7 H_32km VR74.87/3)	西北西—東南東圧縮の逆断層
5) 奄美大島近海	(10/02 09:09 Mw4.1 H_35km VR70.62/2)	南北方向に圧縮軸を持つ型
25) 奄美大島東方沖	(10/08 00:20 Mw4.1 H_5km VR67.02/3)	西北西—東南東伸張の正断層
78) 奄美大島近海	(10/25 00:47 Mw4.1 H_20km VR71.76/3)	北西—南東方向に圧縮軸を持つ型
79) 奄美大島近海	(10/25 01:06 Mw4.6 H_17km VR78.61/3)	北西—南東圧縮の逆断層
86) 種子島近海	(10/26 07:49 Mw4.6 H_32km VR77.26/3)	北西—南東圧縮の逆断層
・沖縄地方		
6) 台湾付近	(10/02 12:47 Mw4.4 H_20km VR74.26/3)	北北西—南南東圧縮の逆断層
8) 沖縄本島近海	(10/02 22:25 Mw4.4 H_5km VR92.55/3)	北西—南東伸張の正断層
9) 沖縄本島近海	(10/02 23:45 Mw4.2 H_5km VR84.83/2)	北西—南東伸張の正断層
12) 台湾付近	(10/03 05:25 Mw4.8 H_38km VR60.84/3)	北北西—南南東方向に圧縮軸を持つ型
21) 沖縄本島近海	(10/07 01:36 Mw5.4 H175km VR92.00/3)	西北西—東南東方向に圧縮軸を持つ型
24) 台湾付近	(10/07 23:06 Mw4.0 H_32km VR69.73/2)	西北西—東南東方向に圧縮軸を持つ型
28) 台湾付近	(10/10 05:43 Mw4.0 H_35km VR57.13/2)	北西—南東圧縮の逆断層
31) 台湾付近	(10/10 12:37 Mw4.5 H_5km VR76.28/2)	東西方向に圧縮軸を持つ型
33) 台湾付近	(10/10 21:17 Mw4.9 H_35km VR85.13/2)	北西—南東方向に圧縮軸を持つ型
34) 台湾付近	(10/11 04:24 Mw5.8 H_35km VR82.64/3)	北北西—南南東方向に圧縮軸を持つ型
41) 沖縄本島近海	(10/12 13:56 Mw4.1 H101km VR68.29/3)	北北西—南南東方向に圧縮軸を持つ型
49) 台湾付近	(10/17 22:20 Mw5.1 H_32km VR70.97/3)	北西—南東方向に圧縮軸を持つ型
66) 台湾付近	(10/22 13:38 Mw4.0 H_23km VR66.10/2)	北北西—南南東圧縮の横ずれ断層
73) 台湾付近	(10/24 08:14 Mw4.5 H_5km VR76.87/2)	北北西—南南東圧縮の逆断層
81) 台湾付近	(10/25 21:30 Mw4.0 H_44km VR78.71/2)	南北圧縮の横ずれ断層
84) 台湾付近	(10/26 06:13 Mw4.2 H_5km VR76.47/2)	南北伸張の正断層
90) 石垣島近海	(10/27 08:02 Mw4.2 H119km VR73.12/3)	北西—南東方向に圧縮軸を持つ型
98) 与那国島近海	(10/28 22:23 Mw4.2 H_32km VR65.67/3)	東西圧縮の横ずれ断層
99) 台湾付近	(10/29 00:30 Mw4.7 H_74km VR86.62/3)	東西方向に圧縮軸を持つ型
103) 台湾付近	(10/31 17:48 Mw5.0 H_29km VR59.92/3)	東北東—西南西圧縮の横ずれ断層

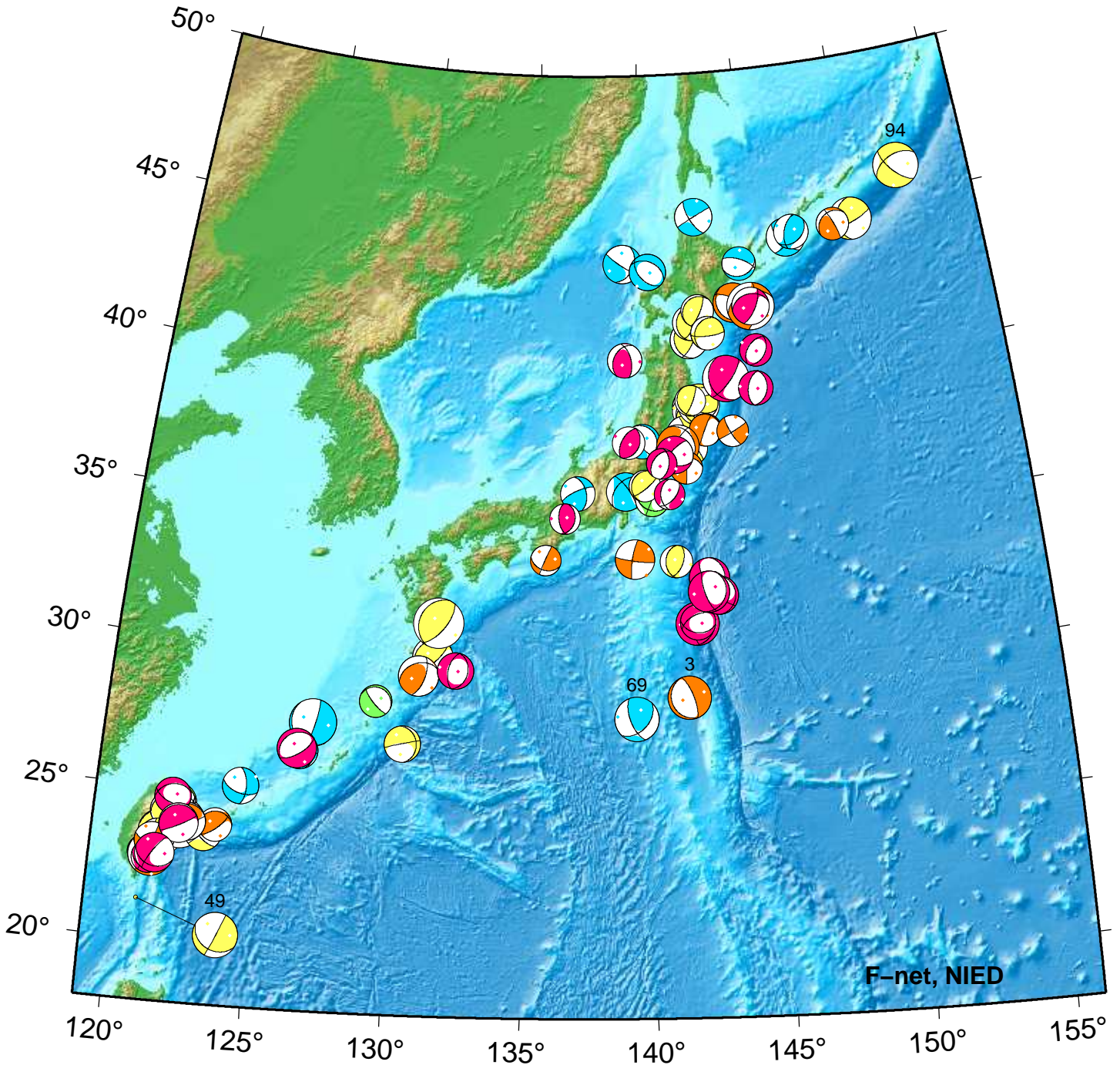
\*Mw4.0以上をリストアップ。 \*\*下線部はMw5.0以上を示す。

\*\*\*”VR”欄の”/”の後の数は解析に使用した観測点数を示す。 \*\*\*\*断層タイプの分類はFrohlich [1992]による。

謝辞 地形データは海上保安庁のものを使用させて頂きました。 記して感謝いたします

# NIED Moment Tensor Solutions

Oct 01,2022–Oct 31,2022(JST)

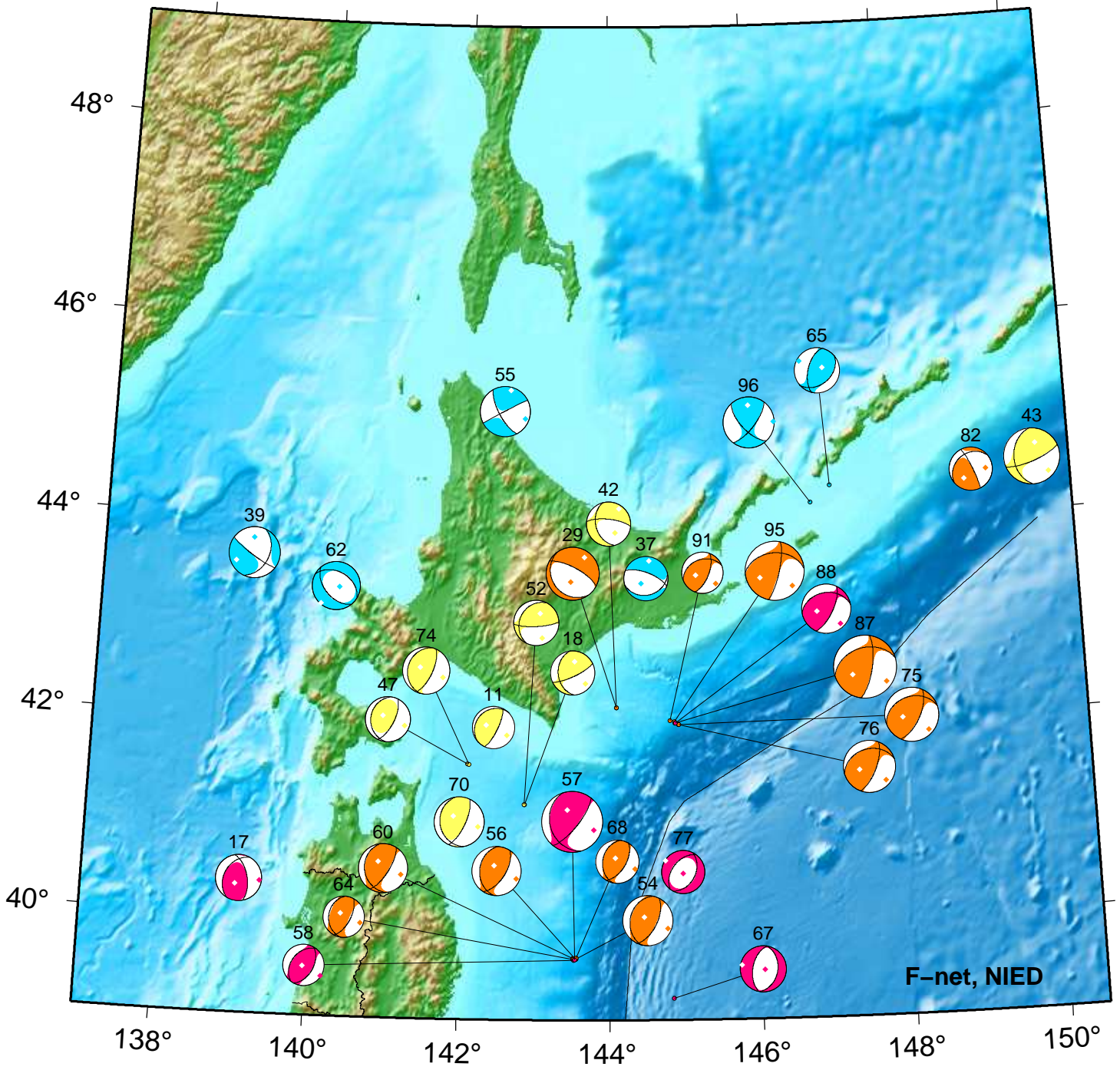


3. 10/01 21:44 Mw4.9 H\_17km VR78.2  
 49. 10/17 22:20 Mw5.1 H\_32km VR71.0

69. 10/23 20:00 Mw5.0 H520km VR79.7  
 94. 10/27 19:10 Mw5.1 H\_50km VR61.3

# Hokkaido

Oct 01,2022–Oct 31,2022(JST)



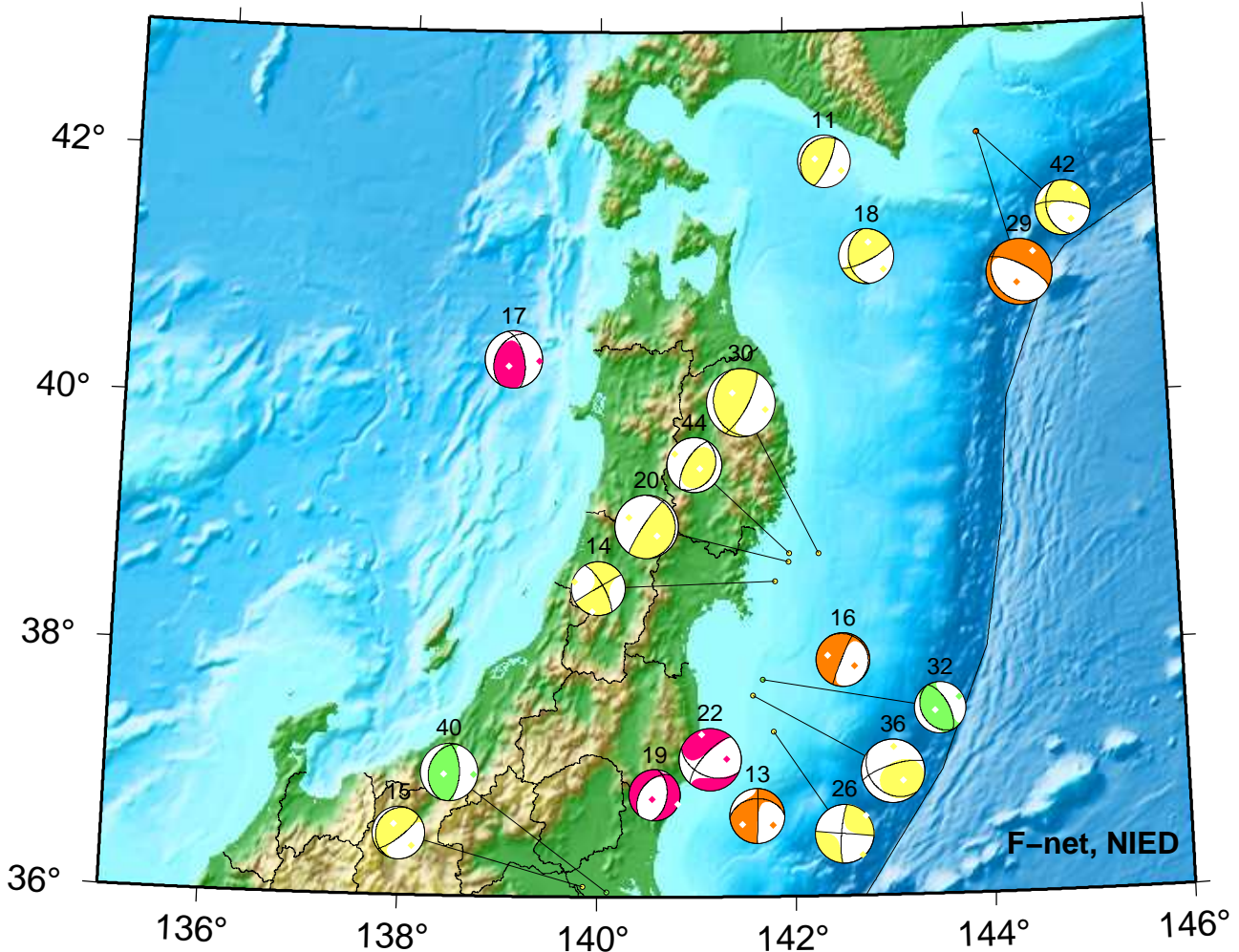
F-net, NIED



11. 10/03 03:02 Mw3.7 H_53km VR68.7	55. 10/19 12:05 Mw4.3 H320km VR77.7	74. 10/24 15:59 Mw4.0 H_53km VR84.5
17. 10/03 12:07 Mw3.9 H_11km VR87.6	56. 10/19 14:14 Mw4.2 H_17km VR78.5	75. 10/24 16:43 Mw4.6 H_20km VR69.2
18. 10/04 01:39 Mw3.8 H_35km VR65.6	57. 10/19 14:54 Mw5.2 H_14km VR83.8	76. 10/24 17:48 Mw4.4 H_20km VR67.2
29. 10/10 09:03 Mw4.5 H_29km VR74.8	58. 10/20 09:55 Mw3.5 H_14km VR55.8	77. 10/24 20:55 Mw3.7 H_8km VR67.3
37. 10/12 03:57 Mw3.8 H113km VR80.9	60. 10/20 20:36 Mw4.2 H_17km VR88.8	82. 10/26 04:49 Mw3.7 H_26km VR62.3
39. 10/12 10:10 Mw4.3 H270km VR86.6	62. 10/21 10:00 Mw4.1 H210km VR63.7	87. 10/26 16:06 Mw5.4 H_17km VR74.3
42. 10/13 09:45 Mw3.8 H_35km VR77.2	64. 10/21 16:09 Mw3.5 H_17km VR71.4	88. 10/26 18:30 Mw4.2 H_14km VR71.2
43. 10/13 15:20 Mw4.8 H_56km VR80.3	65. 10/22 04:38 Mw3.9 H130km VR69.2	91. 10/27 09:30 Mw3.5 H_23km VR64.8
47. 10/17 03:45 Mw3.8 H_59km VR80.2	67. 10/22 18:03 Mw4.0 H_5km VR87.4	95. 10/27 22:25 Mw5.0 H_20km VR68.1
52. 10/18 09:46 Mw3.8 H_32km VR77.7	68. 10/23 08:00 Mw3.7 H_17km VR79.0	96. 10/28 03:01 Mw4.3 H135km VR81.7
54. 10/19 09:43 Mw4.3 H_17km VR82.6	70. 10/23 22:01 Mw4.3 H_59km VR94.4	

# Tohoku

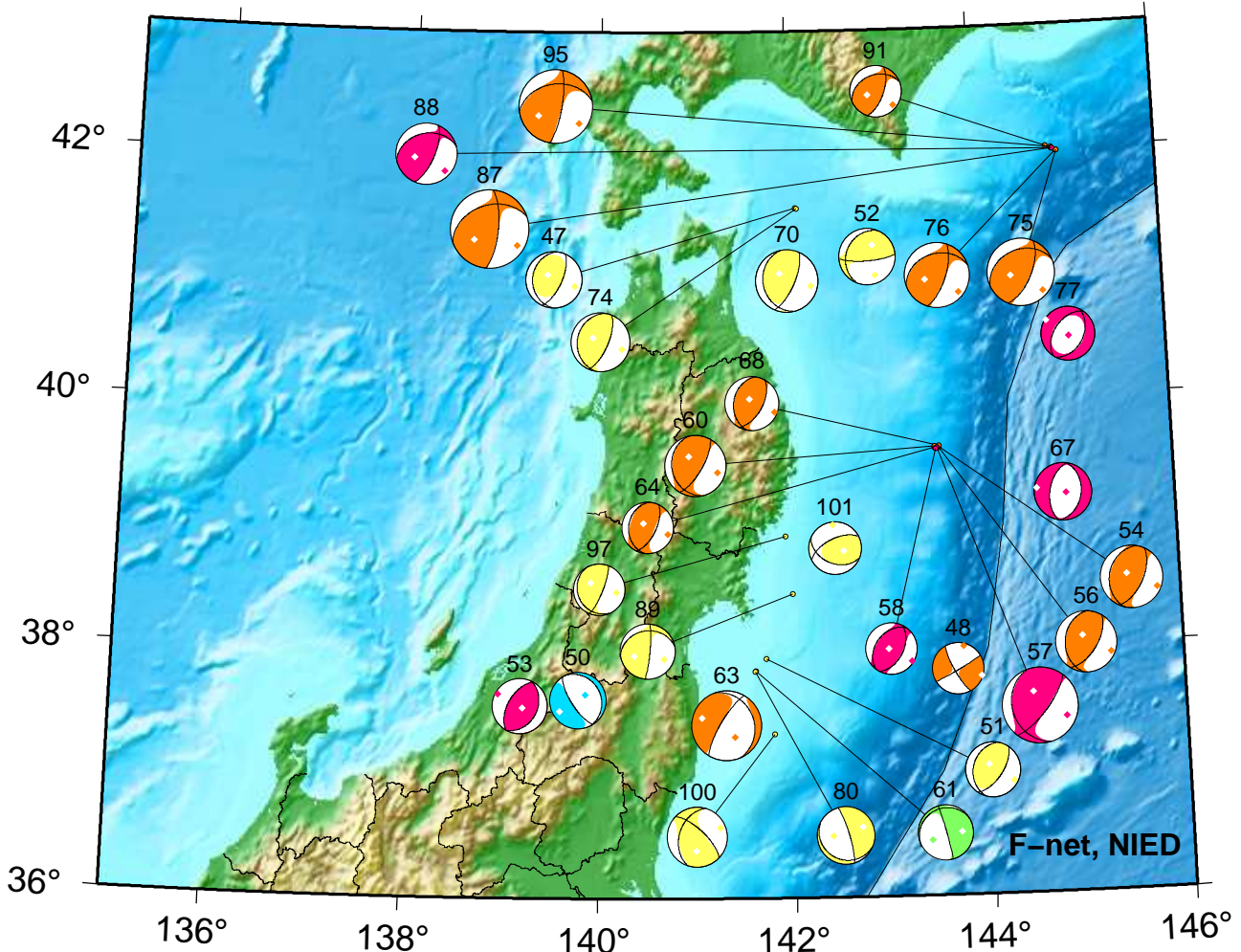
Oct 01,2022–Oct 15,2022(JST)



11. 10/03 03:02 Mw3.7 H_53km VR68.7	18. 10/04 01:39 Mw3.8 H_35km VR65.6	30. 10/10 09:26 Mw4.7 H_44km VR94.4
13. 10/03 07:35 Mw3.7 H_17km VR83.2	19. 10/05 02:02 Mw3.5 H_8km VR69.1	32. 10/10 13:59 Mw3.5 H_68km VR53.5
14. 10/03 07:45 Mw3.7 H_53km VR88.8	20. 10/06 04:04 Mw4.4 H_56km VR93.7	36. 10/11 20:28 Mw4.4 H_50km VR94.4
15. 10/03 08:05 Mw3.6 H_53km VR77.3	22. 10/07 03:14 Mw4.3 H_11km VR93.1	40. 10/12 13:45 Mw4.0 H_65km VR94.9
16. 10/03 08:51 Mw3.7 H_20km VR87.4	26. 10/09 13:37 Mw4.1 H_32km VR94.4	42. 10/13 09:45 Mw3.8 H_35km VR77.2
17. 10/03 12:07 Mw3.9 H_11km VR87.6	29. 10/10 09:03 Mw4.5 H_29km VR74.8	44. 10/14 15:05 Mw3.7 H_56km VR79.2

# Tohoku

Oct 16,2022–Oct 31,2022(JST)



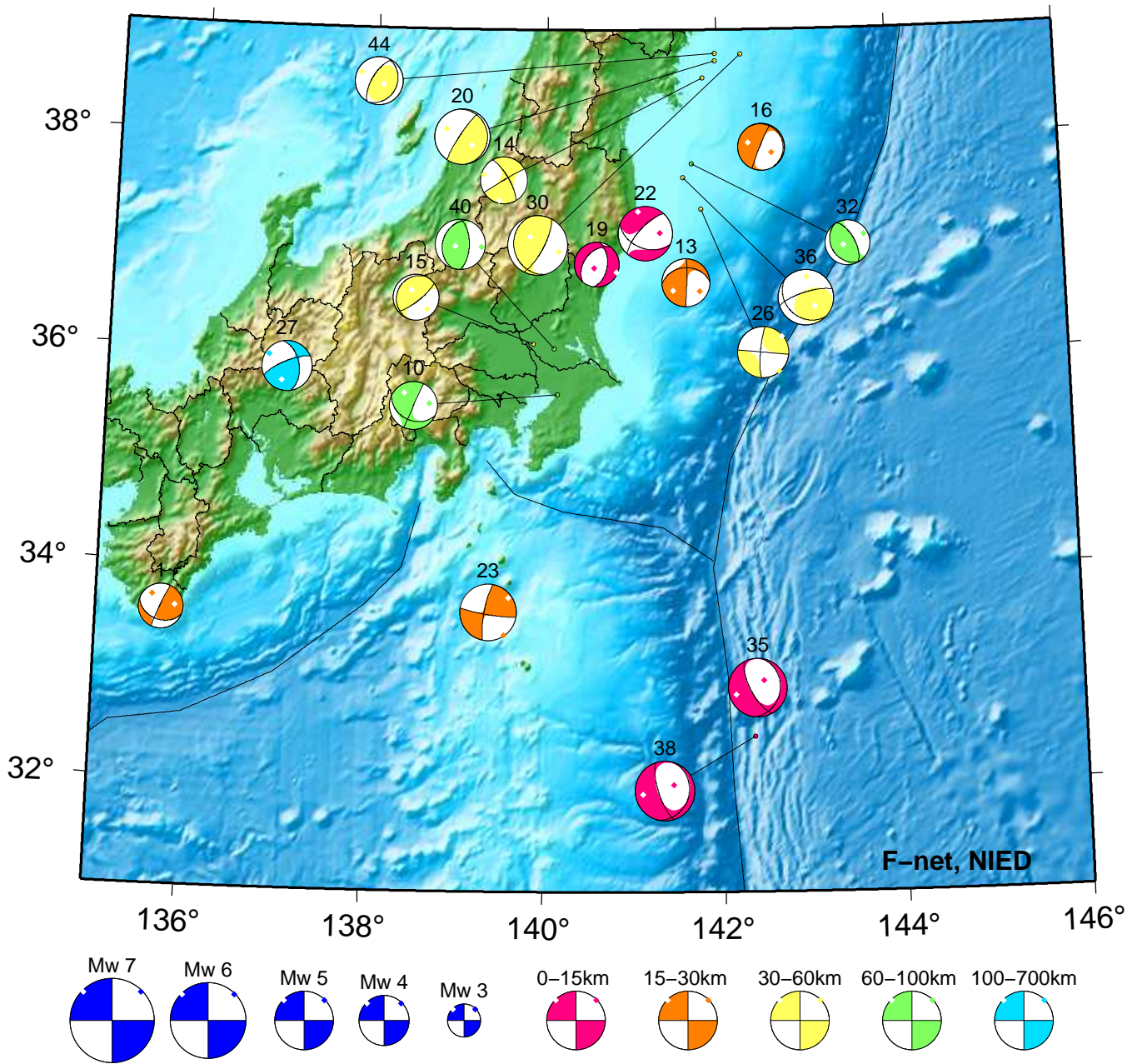
F-net, NIED



47. 10/17 03:45 Mw3.8 H_59km VR80.2	60. 10/20 20:36 Mw4.2 H_17km VR88.8	77. 10/24 20:55 Mw3.7 H_8km VR67.3
48. 10/17 15:26 Mw3.6 H_17km VR70.9	61. 10/21 06:18 Mw3.8 H_62km VR80.9	80. 10/25 06:11 Mw3.9 H_44km VR66.2
50. 10/18 04:50 Mw3.9 H140km VR68.8	63. 10/21 15:19 Mw4.8 H_20km VR79.7	87. 10/26 16:06 Mw5.4 H_17km VR74.3
51. 10/18 08:48 Mw3.8 H_53km VR70.7	64. 10/21 16:09 Mw3.5 H_17km VR71.4	88. 10/26 18:30 Mw4.2 H_14km VR71.2
52. 10/18 09:46 Mw3.8 H_32km VR77.7	67. 10/22 18:03 Mw4.0 H_5km VR87.4	89. 10/27 05:36 Mw3.8 H_47km VR87.8
53. 10/19 03:35 Mw3.7 H_8km VR86.3	68. 10/23 08:00 Mw3.7 H_17km VR79.0	91. 10/27 09:30 Mw3.5 H_23km VR64.8
54. 10/19 09:43 Mw4.3 H_17km VR82.6	70. 10/23 22:01 Mw4.3 H_59km VR94.4	95. 10/27 22:25 Mw5.0 H_20km VR68.1
56. 10/19 14:14 Mw4.2 H_17km VR78.5	74. 10/24 15:59 Mw4.0 H_53km VR84.5	97. 10/28 18:24 Mw3.5 H_41km VR76.9
57. 10/19 14:54 Mw5.2 H_14km VR83.8	75. 10/24 16:43 Mw4.6 H_20km VR69.2	100. 10/29 05:56 Mw4.1 H_32km VR57.8
58. 10/20 09:55 Mw3.5 H_14km VR55.8	76. 10/24 17:48 Mw4.4 H_20km VR67.2	101. 10/29 17:39 Mw3.6 H_41km VR66.1

# Kanto-Chubu

Oct 01,2022-Oct 15,2022(JST)

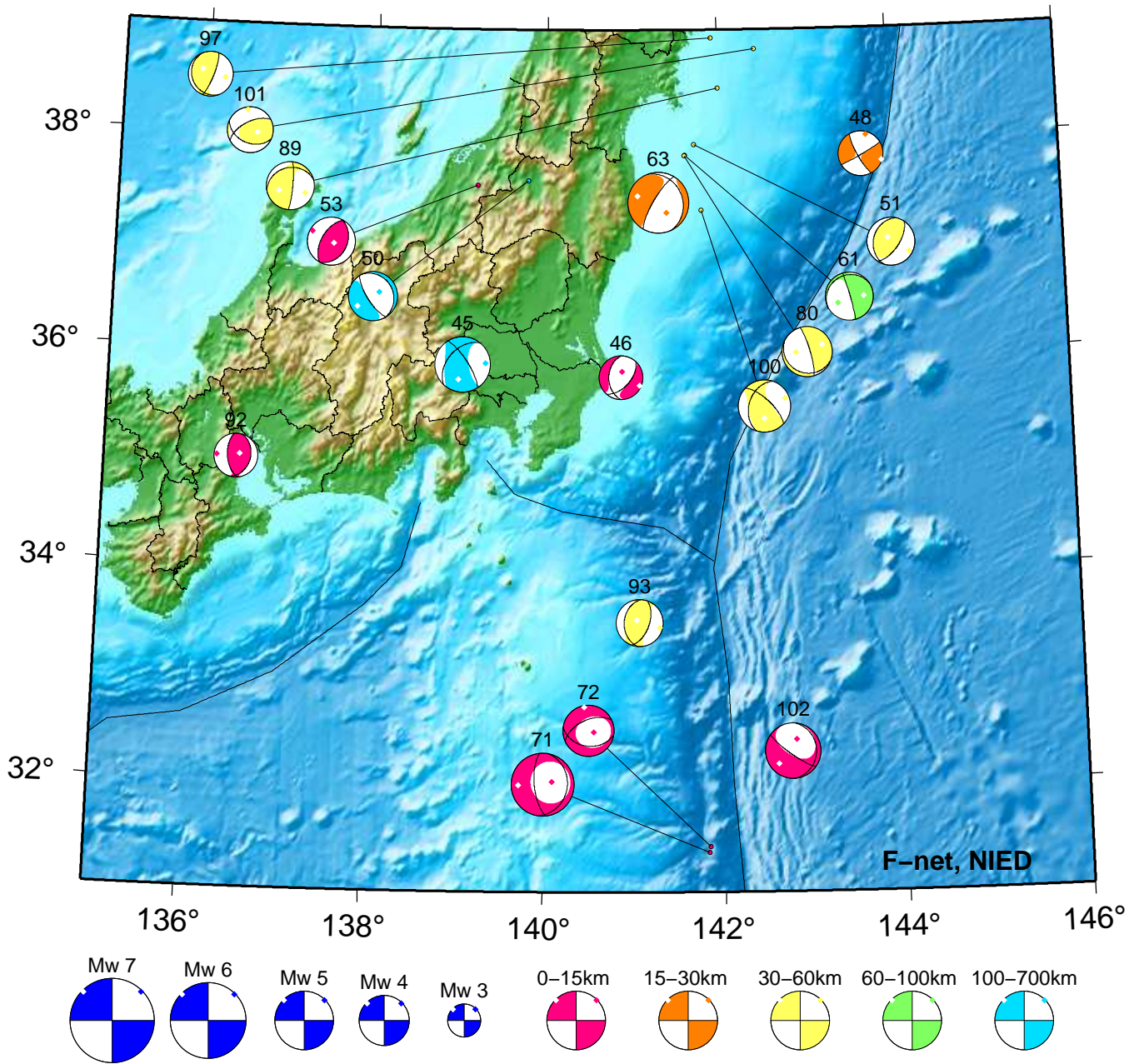


- |                                     |                                     |                                     |
|-------------------------------------|-------------------------------------|-------------------------------------|
| 1. 10/01 08:42 Mw3.5 H_26km VR77.0  | 20. 10/06 04:04 Mw4.4 H_56km VR93.7 | 35. 10/11 17:17 Mw4.6 H_8km VR80.2  |
| 10. 10/03 02:33 Mw3.8 H_65km VR79.6 | 22. 10/07 03:14 Mw4.3 H_11km VR93.1 | 36. 10/11 20:28 Mw4.4 H_50km VR94.4 |
| 13. 10/03 07:35 Mw3.7 H_17km VR83.2 | 23. 10/07 05:09 Mw4.5 H_17km VR88.7 | 38. 10/12 05:28 Mw4.7 H_5km VR77.5  |
| 14. 10/03 07:45 Mw3.7 H_53km VR88.8 | 26. 10/09 13:37 Mw4.1 H_32km VR94.4 | 40. 10/12 13:45 Mw4.0 H_65km VR94.9 |
| 15. 10/03 08:05 Mw3.6 H_53km VR77.3 | 27. 10/09 16:19 Mw3.9 H300km VR59.1 | 44. 10/14 15:05 Mw3.7 H_56km VR79.2 |
| 16. 10/03 08:51 Mw3.7 H_20km VR87.4 | 30. 10/10 09:26 Mw4.7 H_44km VR94.4 |                                     |
| 19. 10/05 02:02 Mw3.5 H_8km VR69.1  | 32. 10/10 13:59 Mw3.5 H_68km VR53.5 |                                     |



# Kanto-Chubu

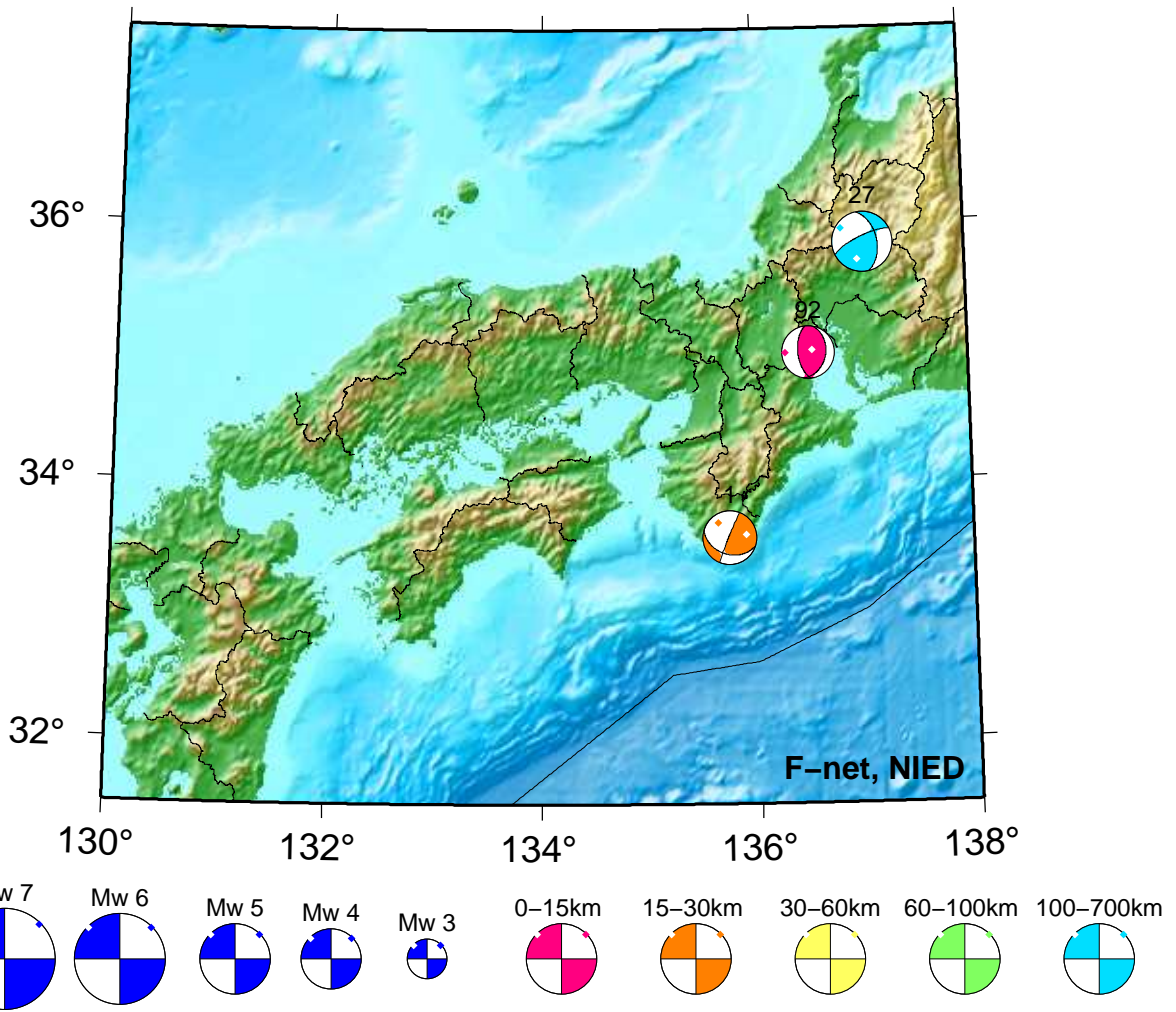
Oct 16,2022-Oct 31,2022(JST)



45. 10/16 00:25 Mw4.4 H150km VR69.9	61. 10/21 06:18 Mw3.8 H_62km VR80.9	92. 10/27 13:09 Mw3.5 H_14km VR80.3
46. 10/16 11:13 Mw3.4 H_5km VR71.7	63. 10/21 15:19 Mw4.8 H_20km VR79.7	93. 10/27 14:29 Mw3.7 H_41km VR70.6
48. 10/17 15:26 Mw3.6 H_17km VR70.9	71. 10/24 05:09 Mw4.9 H_14km VR66.4	97. 10/28 18:24 Mw3.5 H_41km VR76.9
50. 10/18 04:50 Mw3.9 H140km VR68.8	72. 10/24 07:35 Mw4.0 H_14km VR69.3	100. 10/29 05:56 Mw4.1 H_32km VR57.8
51. 10/18 08:48 Mw3.8 H_53km VR70.7	80. 10/25 06:11 Mw3.9 H_44km VR66.2	101. 10/29 17:39 Mw3.6 H_41km VR66.1
53. 10/19 03:35 Mw3.7 H_8km VR86.3	89. 10/27 05:36 Mw3.8 H_47km VR87.8	102. 10/30 04:46 Mw4.4 H_5km VR62.8

# Kinki-Chugoku-Shikoku

Oct 01,2022-Oct 31,2022(JST)



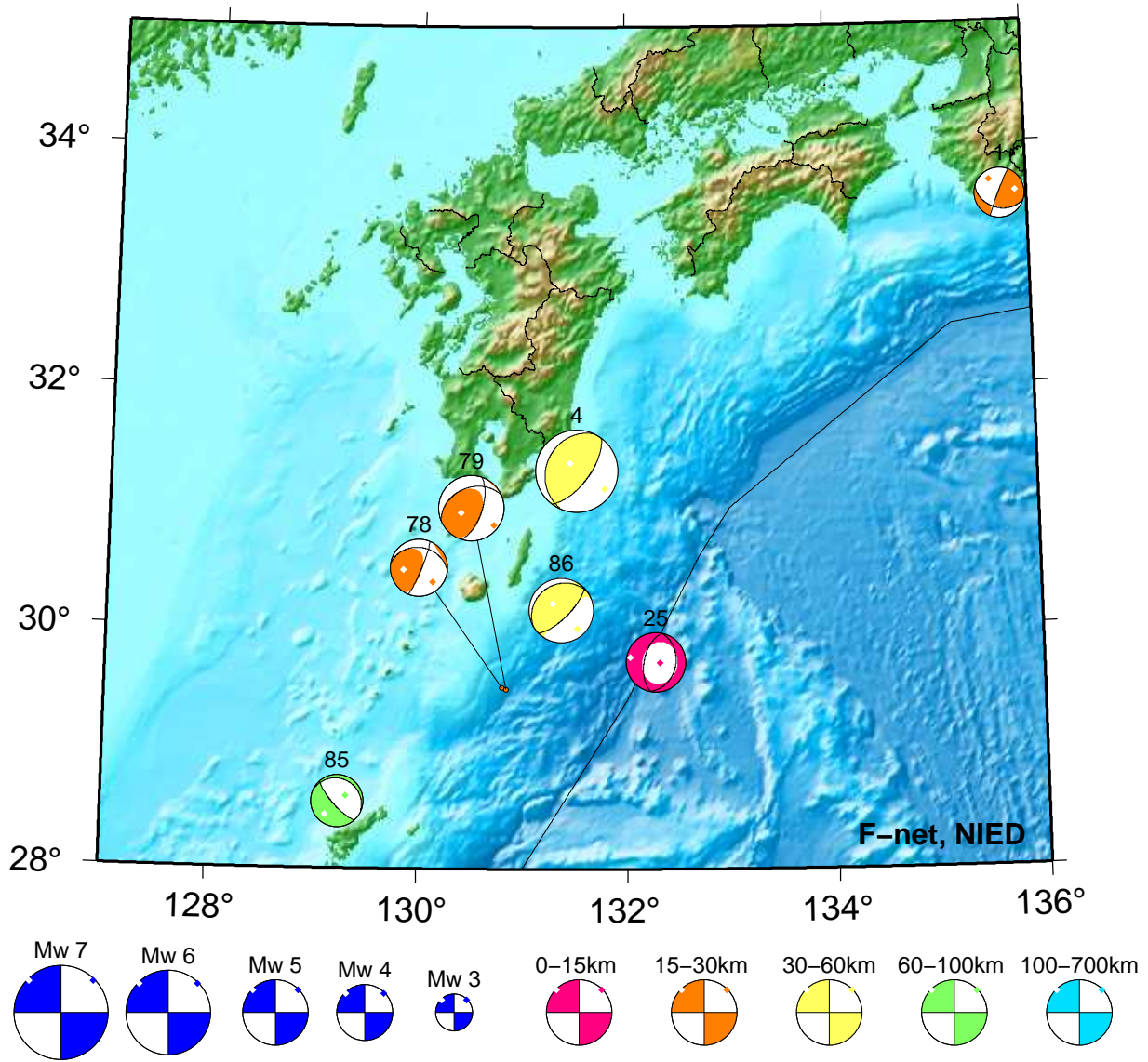
1. 10/01 08:42 Mw3.5 H\_26km VR77.0

27. 10/09 16:19 Mw3.9 H300km VR59.1

92. 10/27 13:09 Mw3.5 H\_14km VR80.3

# Kyushu

Oct 01,2022–Oct 31,2022(JST)



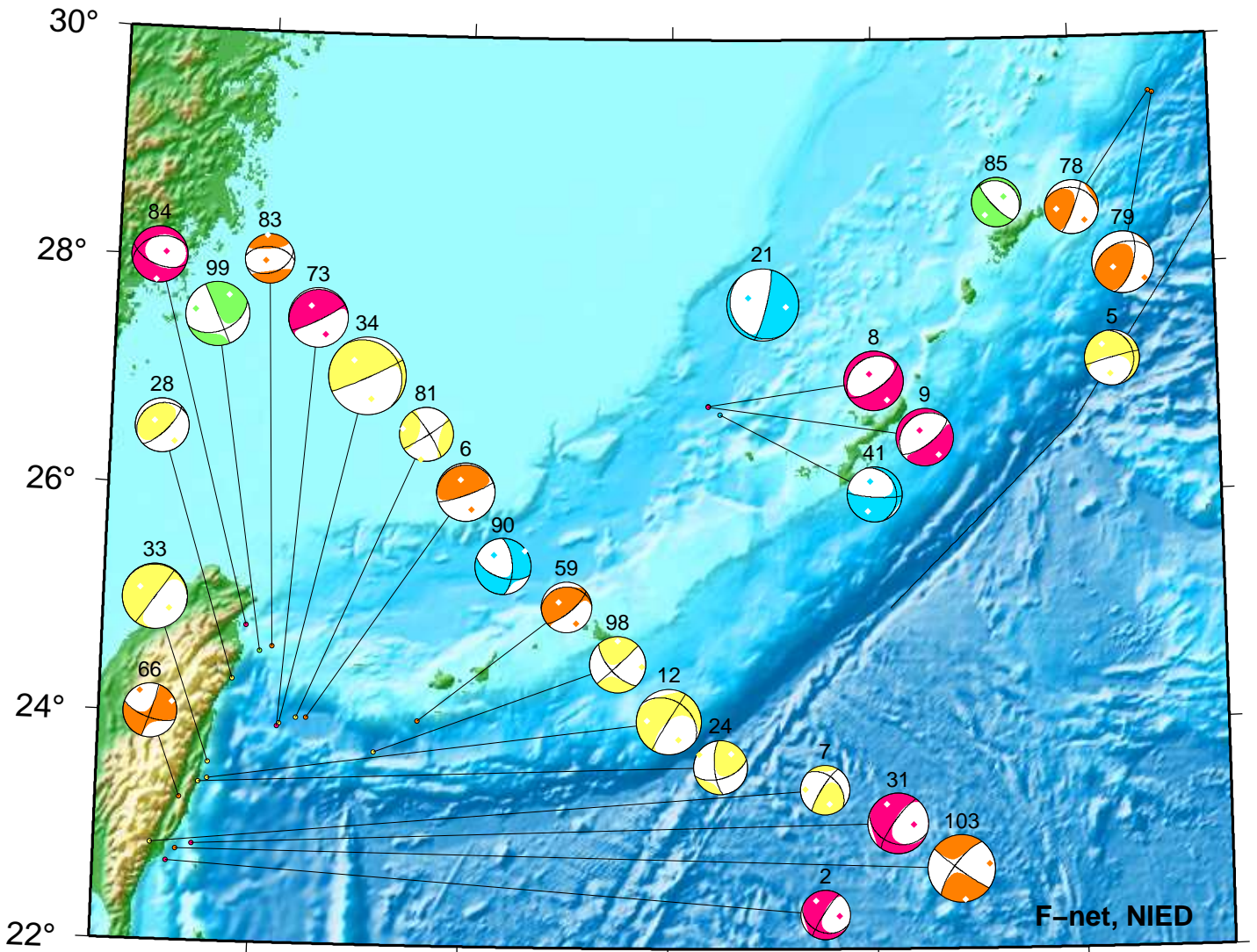
1. 10/01 08:42 Mw3.5 H\_26km VR77.0  
 4. 10/02 00:02 Mw5.7 H\_32km VR74.9  
 25. 10/08 00:20 Mw4.1 H\_5km VR67.0

78. 10/25 00:47 Mw4.1 H\_20km VR71.8  
 79. 10/25 01:06 Mw4.6 H\_17km VR78.6  
 85. 10/26 07:40 Mw3.7 H\_74km VR62.8

86. 10/26 07:49 Mw4.6 H\_32km VR77.3

# Okinawa

Oct 01,2022–Oct 31,2022(JST)



F-net, NIED



2. 10/01 09:55 Mw3.7 H_5km VR62.6	28. 10/10 05:43 Mw4.0 H_35km VR57.1	79. 10/25 01:06 Mw4.6 H_17km VR78.6
5. 10/02 09:09 Mw4.1 H_35km VR70.6	31. 10/10 12:37 Mw4.5 H_5km VR76.3	81. 10/25 21:30 Mw4.0 H_44km VR78.7
6. 10/02 12:47 Mw4.4 H_20km VR74.3	33. 10/10 21:17 Mw4.9 H_35km VR85.1	83. 10/26 04:56 Mw3.7 H_26km VR57.1
7. 10/02 16:35 Mw3.7 H_35km VR61.3	34. 10/11 04:24 Mw5.8 H_35km VR82.6	84. 10/26 06:13 Mw4.2 H_5km VR76.5
8. 10/02 22:25 Mw4.4 H_5km VR92.5	41. 10/12 13:56 Mw4.1 H101km VR68.3	85. 10/26 07:40 Mw3.7 H_74km VR62.8
9. 10/02 23:45 Mw4.2 H_5km VR84.8	59. 10/20 18:11 Mw3.8 H_29km VR94.0	90. 10/27 08:02 Mw4.2 H119km VR73.1
12. 10/03 05:25 Mw4.8 H_38km VR60.8	66. 10/22 13:38 Mw4.0 H_23km VR66.1	98. 10/28 22:23 Mw4.2 H_32km VR65.7
21. 10/07 01:36 Mw5.4 H175km VR92.0	73. 10/24 08:14 Mw4.5 H_5km VR76.9	99. 10/29 00:30 Mw4.7 H_74km VR86.6
24. 10/07 23:06 Mw4.0 H_32km VR69.7	78. 10/25 00:47 Mw4.1 H_20km VR71.8	103. 10/31 17:48 Mw5.0 H_29km VR59.9

(2022年10月)

- 9月30日～10月5日頃に紀伊半島北部において、やや活発な微動活動.
- 10月14～26日頃に東海地方において、活発な微動活動.

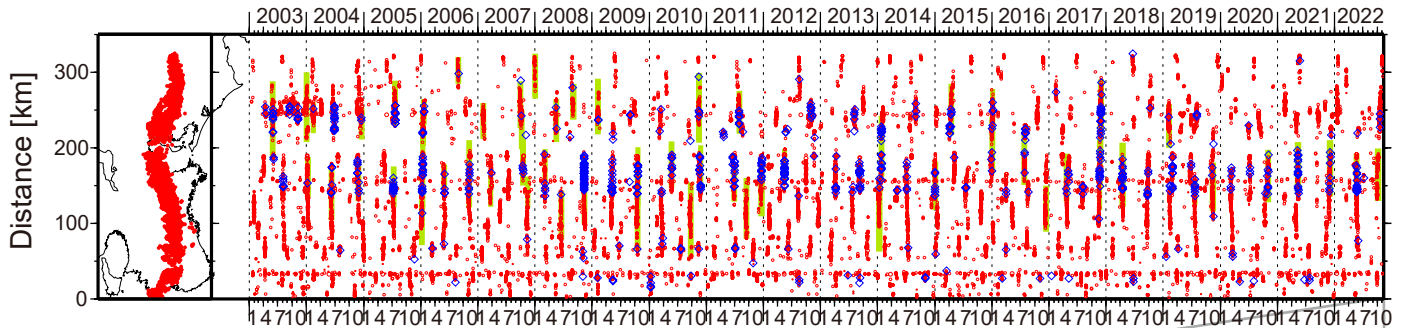


図1. 紀伊半島・東海地域における2003年1月～2022年11月6日までの深部低周波微動の時空間分布(上図). 赤丸はエンベロープ相関・振幅ハイブリッド法 (Maeda and Obara, 2009) およびクラスタ処理 (Obara et al., 2010) によって1時間毎に自動処理された微動分布の重心である. 青菱形は周期20秒に卓越する超低周波地震 (Ito et al., 2007) である. 黄緑色の太線はこれまでに検出された短期的スロースリップイベント (SSE) を示す. 下図は2022年10月を中心とした期間の拡大図である. 9月30日～10月5日頃には、三重県中部から北部においてやや活発な微動活動がみられ、北東方向への活動域の移動がみられた. この活動に際し、傾斜変動から短期的SSEの断層モデルも推定されている. 10月14～26日頃には、愛知県西部から愛知・長野県境付近において活発な微動活動がみられた. この活動では東方向への活動域の移動が23日頃までみられた. 9月30日～10月2日頃には和歌山県中部において、10月7～9日頃には三重県北部において、11月1～5日頃には長野県南部において、それぞれ小規模な活動がみられた.

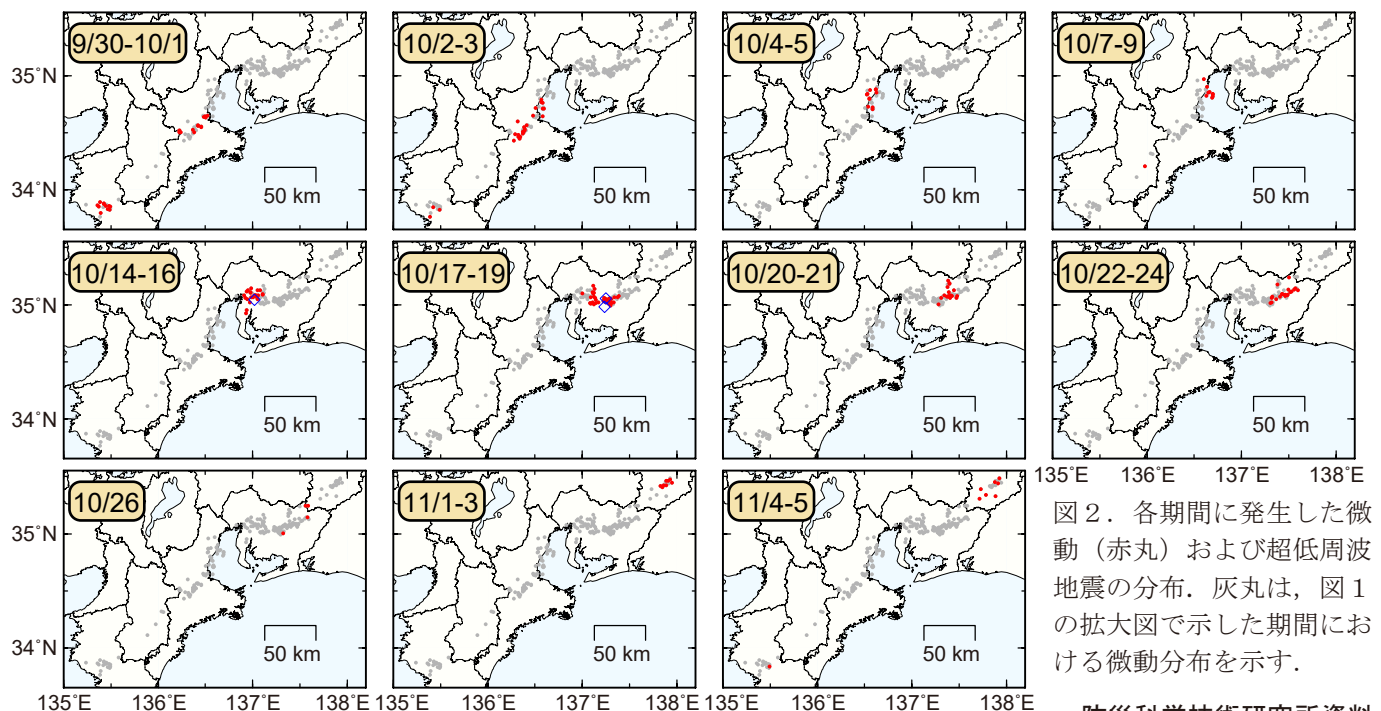


図2. 各期間に発生した微動(赤丸)および超低周波地震の分布. 灰丸は、図1の拡大図で示した期間における微動分布を示す.

● 10月16～23日頃に四国東部において、活発な微動活動。

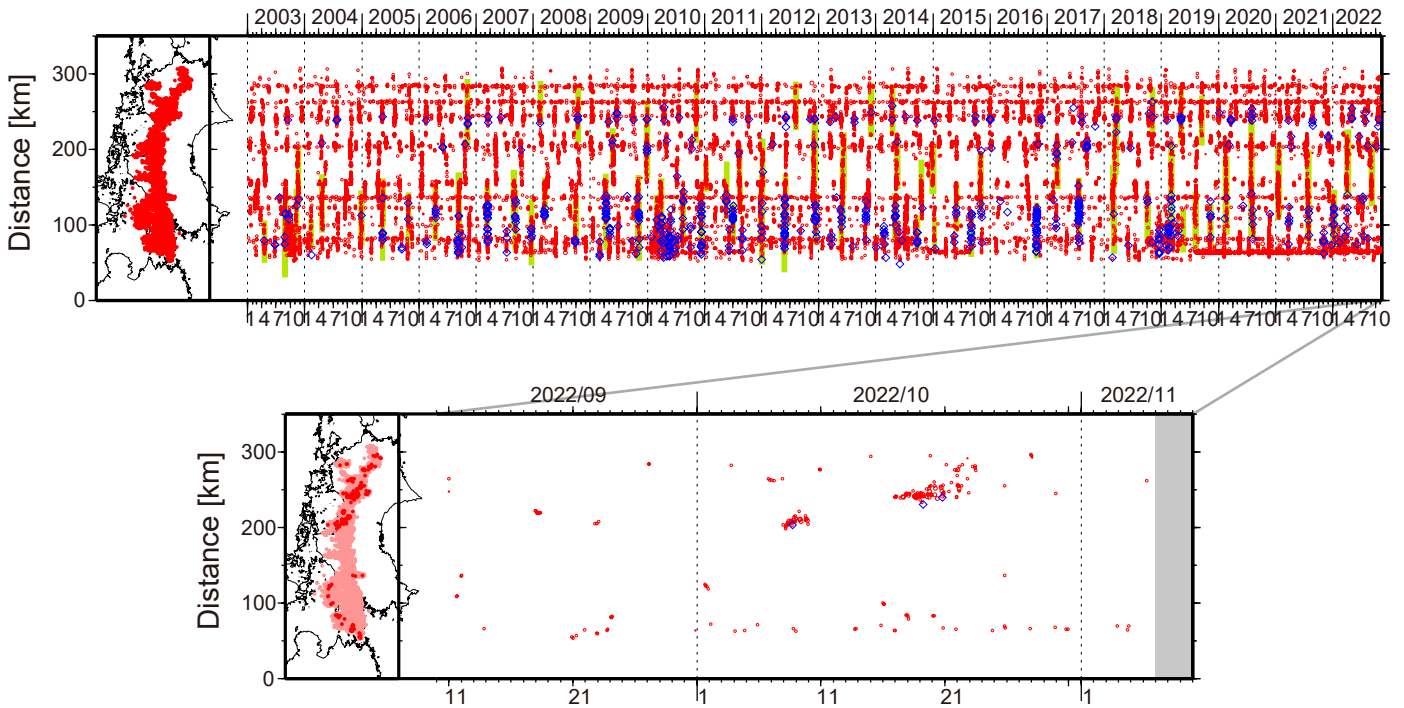


図1. 四国における2003年1月～2022年11月6日までの深部低周波微動の時空間分布(上図). 赤丸はエンベロープ相関・振幅ハイブリッド法 (Maeda and Obara, 2009) およびクラスタ処理 (Obara et al., 2010) によって1時間毎に自動処理された微動分布の重心である. 青菱形は周期20秒に卓越する超低周波地震 (Ito et al., 2007) である. 黄緑色太線は、これまでに検出された短期的スロースリップイベント (SSE) を示す. 下図は2022年10月を中心とした期間の拡大図である. 10月16～23日頃には愛媛・香川・徳島県境付近から徳島県東部において、活発な微動活動がみられた. この活動は愛媛・香川・徳島県境付近で開始し、東方向への活動域の拡大がみられた. 10月7～9日頃には愛媛県東部において、10月16～18日頃には愛媛県西部において、それぞれ小規模な活動がみられた. 10月1日頃および10月20日頃には愛媛県西部において、10月10日頃には徳島県中部において、10月27～28日頃には徳島県東部において、それぞれごく小規模な活動がみられた.

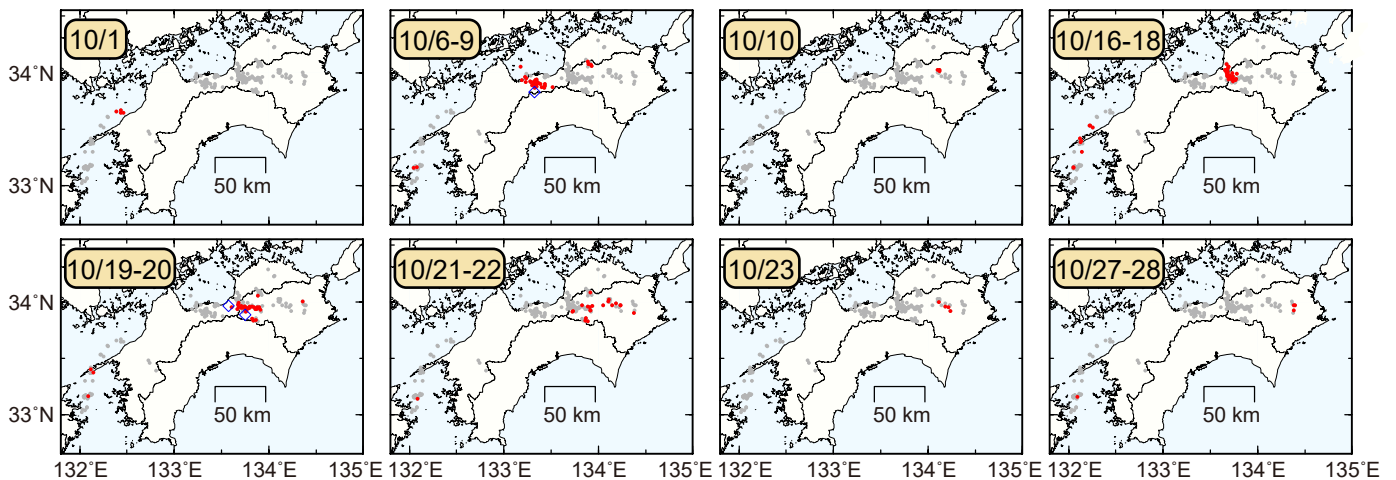


図2. 各期間に発生した微動 (赤丸), および深部超低周波地震 (青菱形) の分布. 灰丸は、図1の拡大図で示した期間における微動分布を示す.

・紀伊半島北部を活動域とする短期的スロースリップイベント ( $M_w$  6.0)  
 ・2022年5月 ( $M_w$  6.0) 以来約4ヶ月ぶり

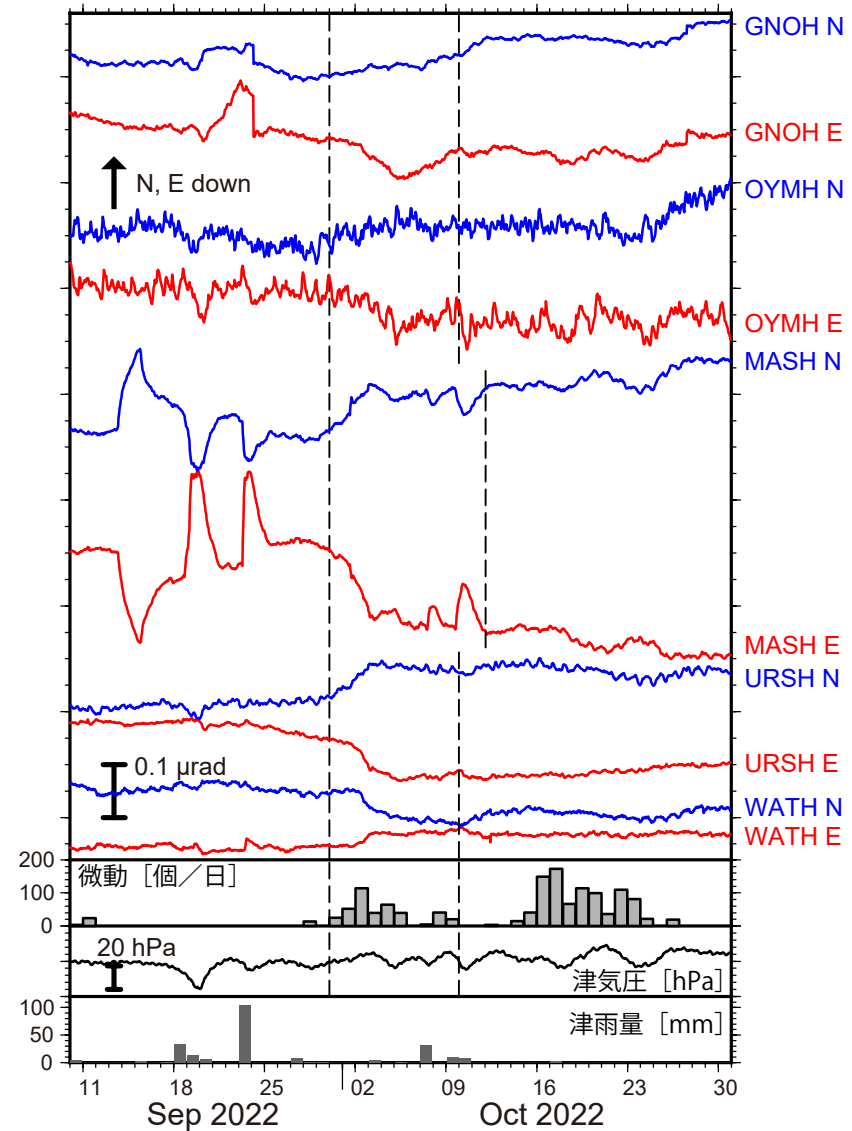


図1: 2022年9月10日~10月30日の傾斜時系列. 上方向への変化が北・東下がり傾斜変動を表し, BAYTAP-Gにより潮汐・気圧応答成分を除去した. 9月30日~10月9日(MASHのみ10月11日)の傾斜変化ベクトルを図2に示す. 紀伊半島~愛知県での微動活動度・気象庁津観測点の気圧・雨量をあわせて示す.

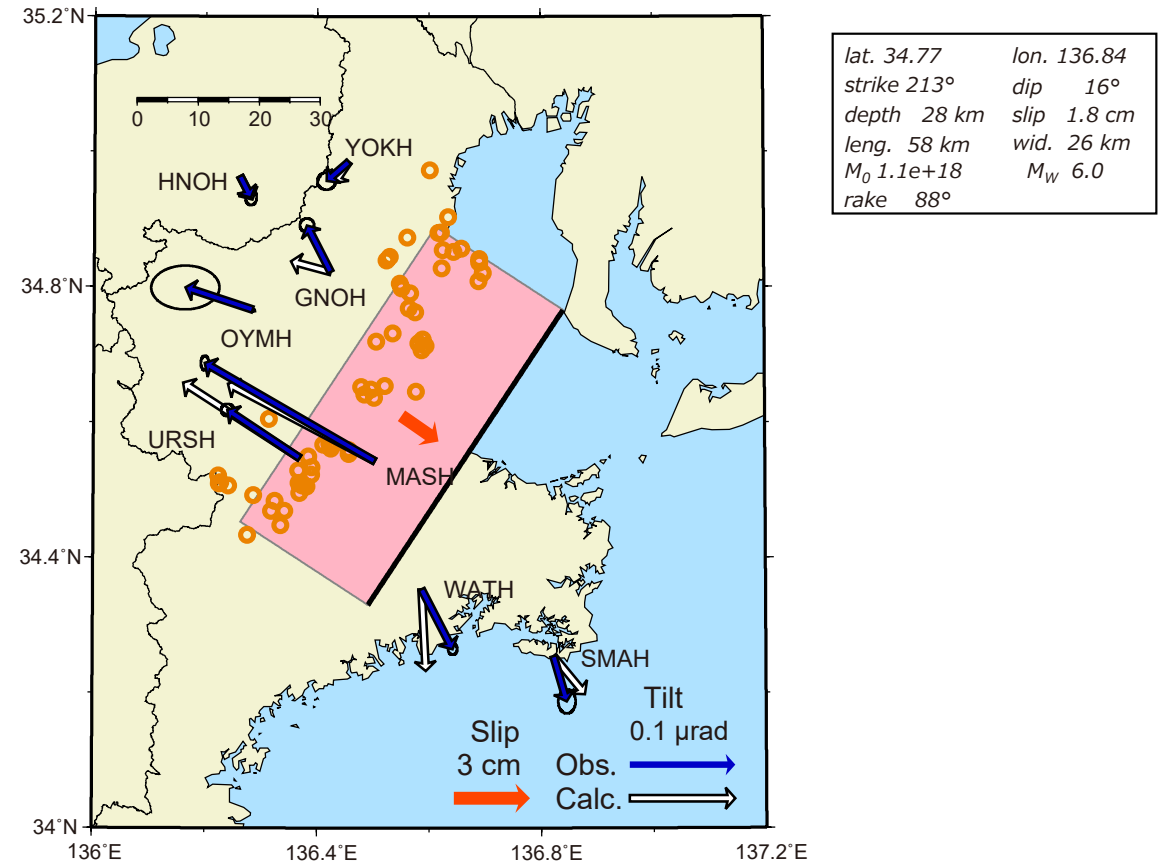
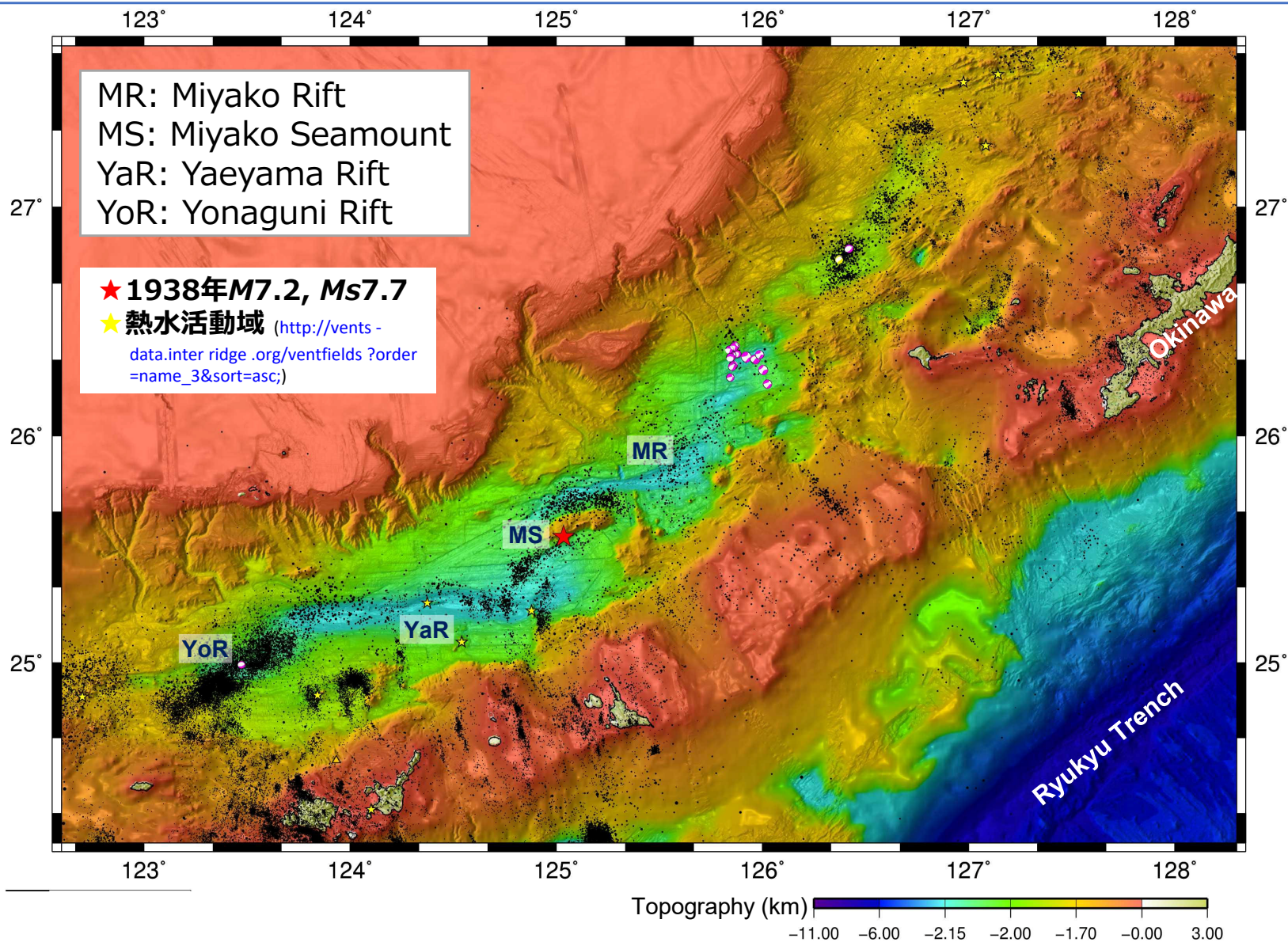


図2: 9月30日~10月9日(MASHのみ10月11日)に観測された傾斜変化ベクトル(青矢印), 推定されたスロースリップイベントの断層モデル(赤矩形・矢印), モデルから計算される傾斜変化ベクトル(白抜き矢印)を示す. 1時間ごとの微動エネルギーの重心位置(橙丸)もあわせて示す. すべり角はプレート相対運動方向に固定している.

謝辞  
 気象庁のWEBページで公開されている気象データを使用させて頂きました. 記して感謝いたします.

- 沖縄トラフ南部から中部にかけての海底地形はいくつかの海底地溝が雁行状に分布していることにより特徴づけられる。
- 2022年9月の活発な地震活動は宮古海底地溝の北端部から雁行状に北へ延びている地溝域、10月の2つのM4の地震はさらに北東延長部の海底地溝域で発生した。



海底地形図上にプロットした震央分布図（震源の深さ：30km以浅）。F-netメカニズム解：2022年9月（ピンク）、2022年10月（黄色）。黒点は気象庁一元化震源（1919年－2022年11月6日）。海底地形データは海上保安庁による。